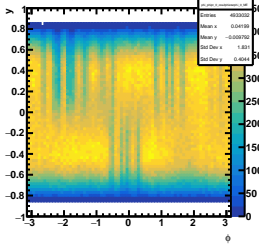
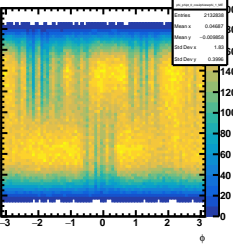
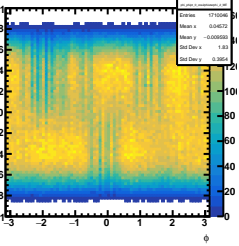
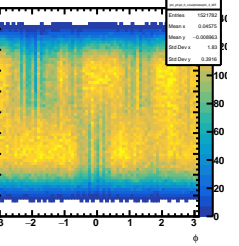
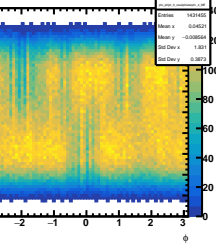
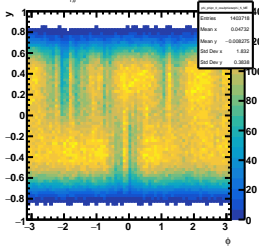
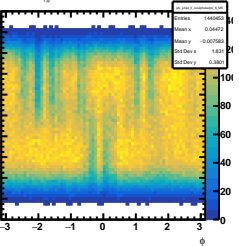
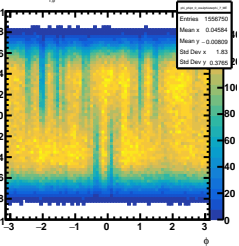
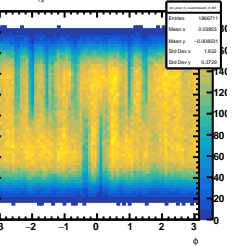
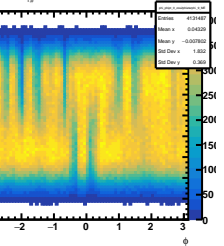
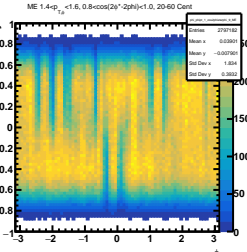
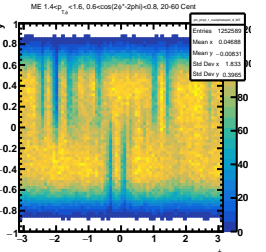
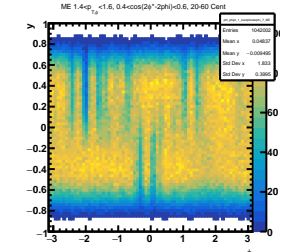
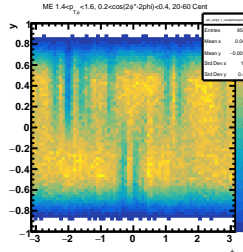
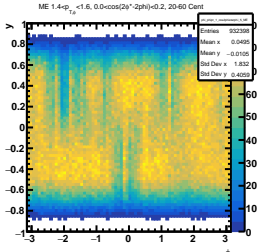
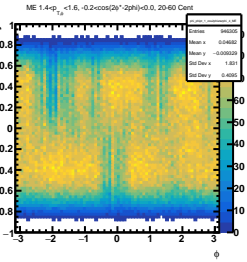
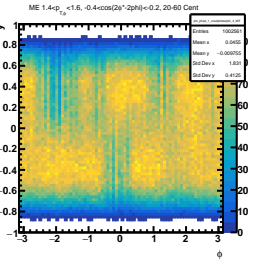
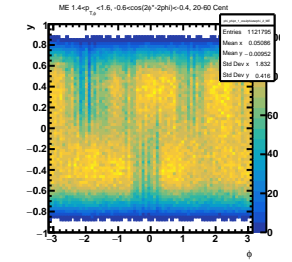
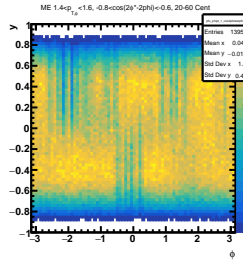
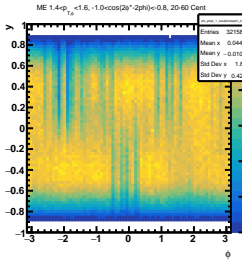
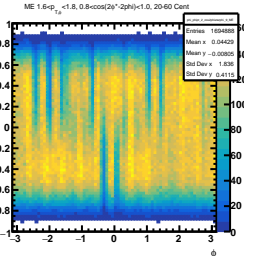
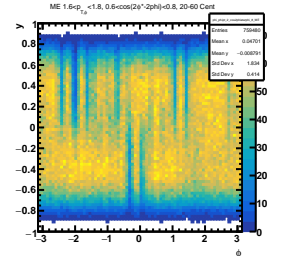
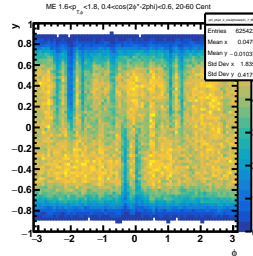
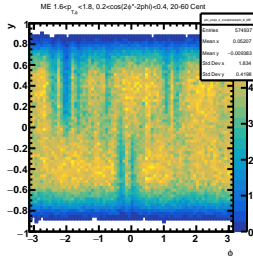
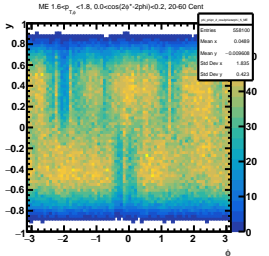
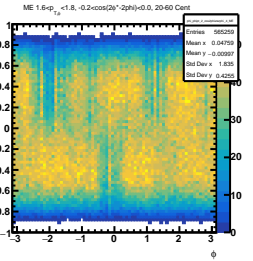
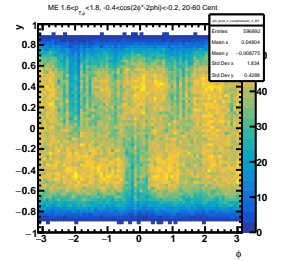
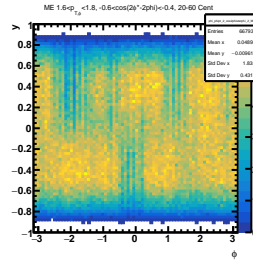
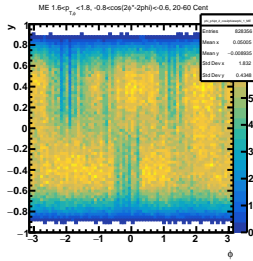
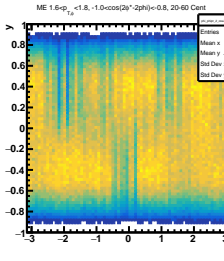
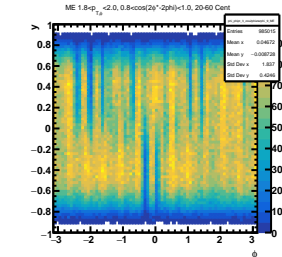
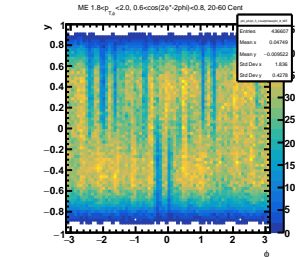
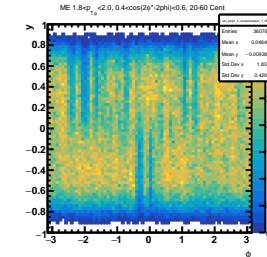
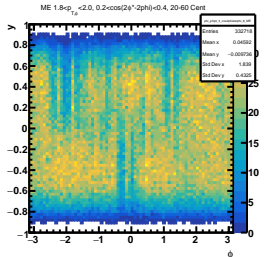
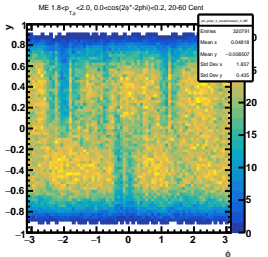
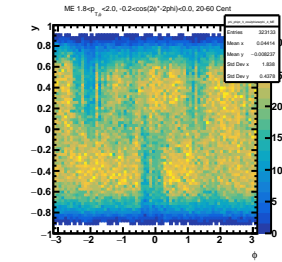
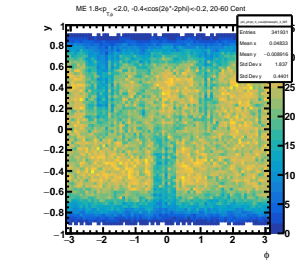
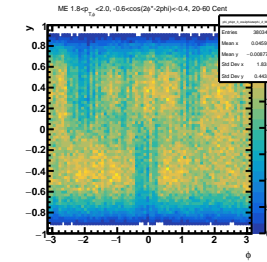
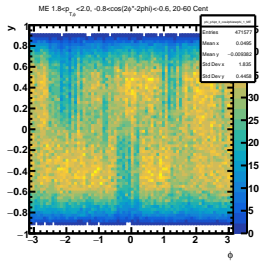
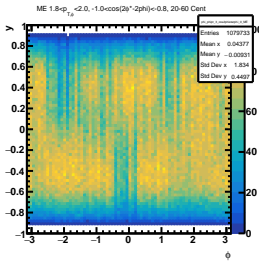
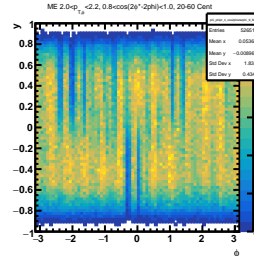
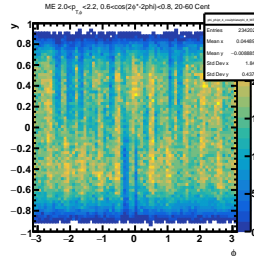
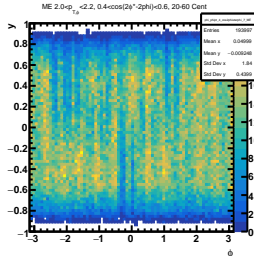
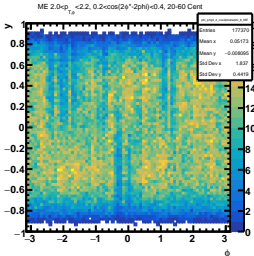
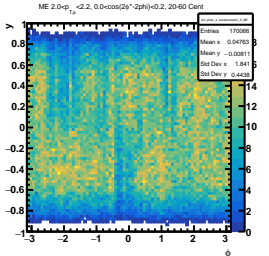
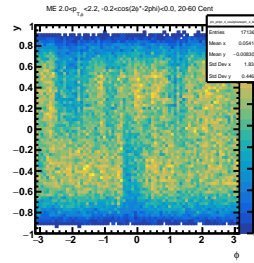
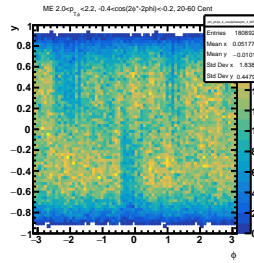
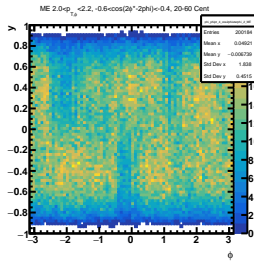
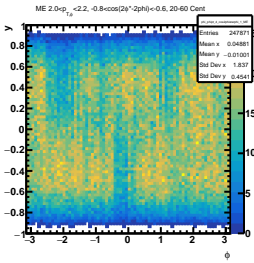
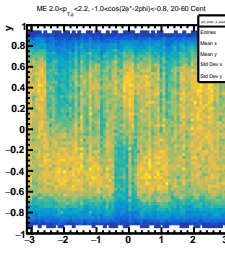


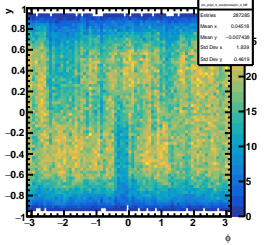
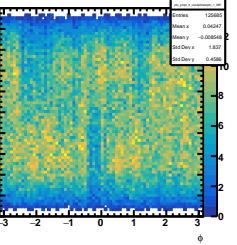
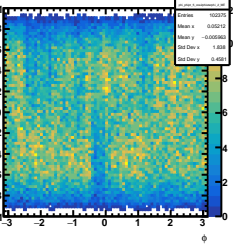
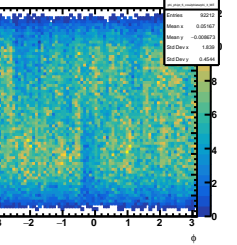
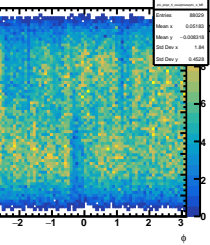
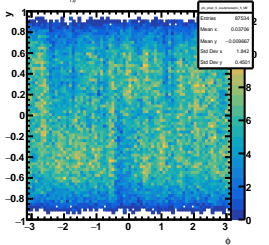
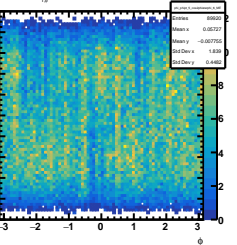
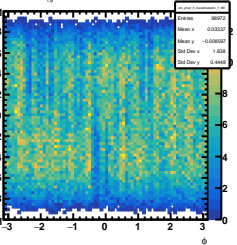
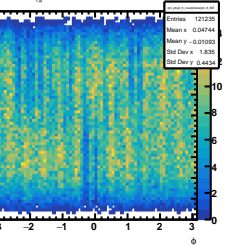
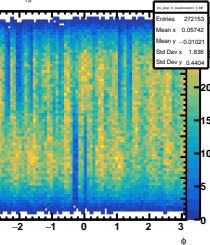
ME  $1.2 < p_{T_\phi} < 1.4$ ,  $-1.0 < \cos(2\phi^* - 2\phi) < 0.8$ , 20-60 CentME  $1.2 < p_{T_\phi} < 1.4$ ,  $-0.8 < \cos(2\phi^* - 2\phi) < -0.6$ , 20-60 CentME  $1.2 < p_{T_\phi} < 1.4$ ,  $-0.6 < \cos(2\phi^* - 2\phi) < -0.4$ , 20-60 CentME  $1.2 < p_{T_\phi} < 1.4$ ,  $-0.4 < \cos(2\phi^* - 2\phi) < -0.2$ , 20-60 CentME  $1.2 < p_{T_\phi} < 1.4$ ,  $-0.2 < \cos(2\phi^* - 2\phi) < 0.0$ , 20-60 CentME  $1.2 < p_{T_\phi} < 1.4$ ,  $0.0 < \cos(2\phi^* - 2\phi) < 0.2$ , 20-60 CentME  $1.2 < p_{T_\phi} < 1.4$ ,  $0.2 < \cos(2\phi^* - 2\phi) < 0.4$ , 20-60 CentME  $1.2 < p_{T_\phi} < 1.4$ ,  $0.4 < \cos(2\phi^* - 2\phi) < 0.6$ , 20-60 CentME  $1.2 < p_{T_\phi} < 1.4$ ,  $0.6 < \cos(2\phi^* - 2\phi) < 0.8$ , 20-60 CentME  $1.2 < p_{T_\phi} < 1.4$ ,  $0.8 < \cos(2\phi^* - 2\phi) < 1.0$ , 20-60 Cent

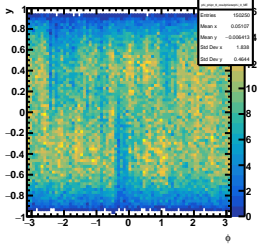
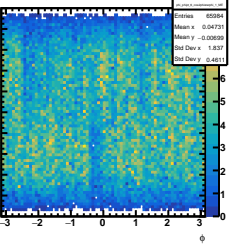
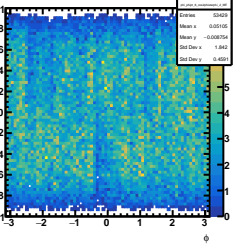
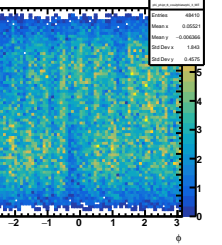
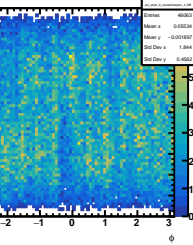
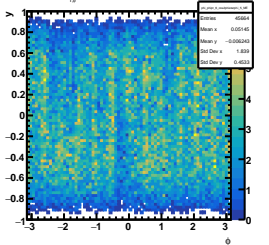
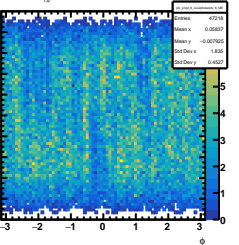
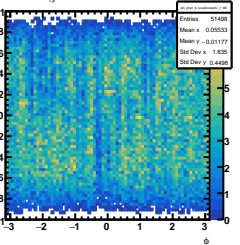
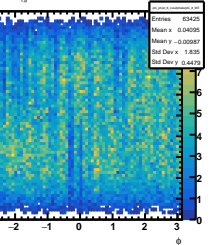
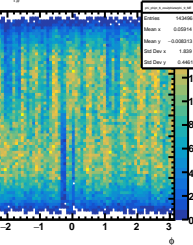


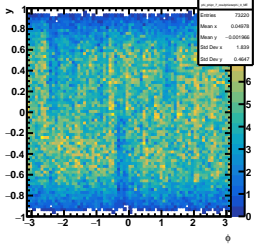
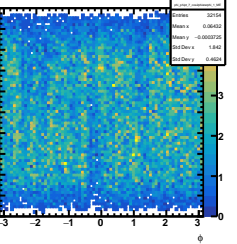
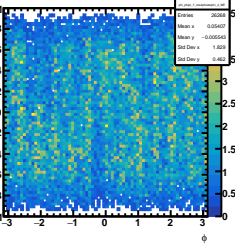
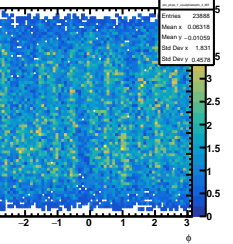
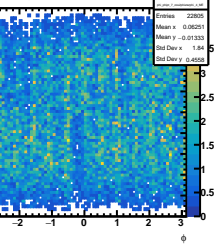
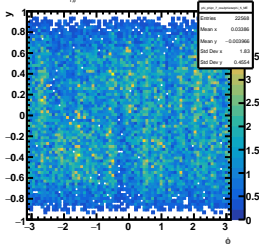
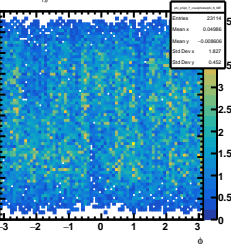
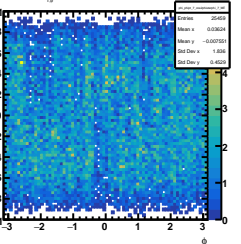
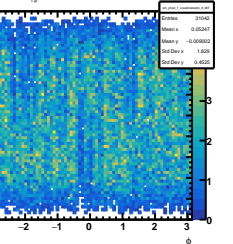
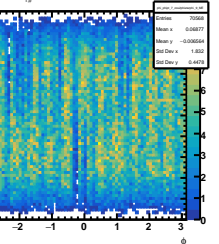


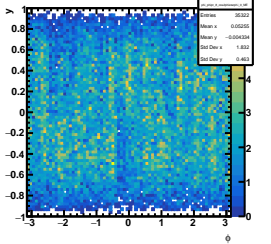
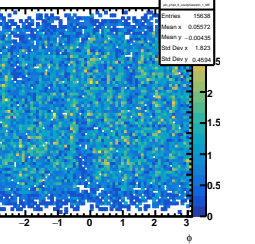
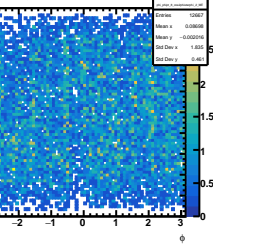
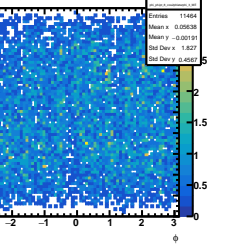
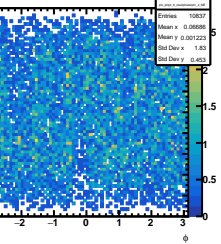
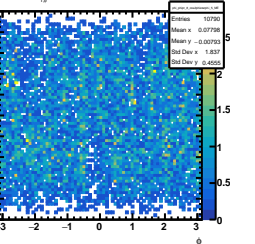
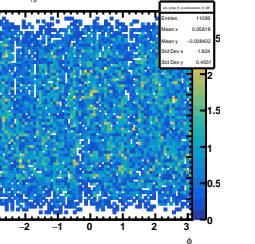
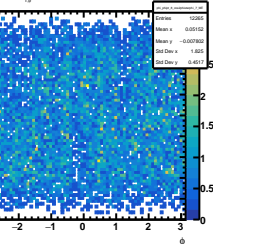
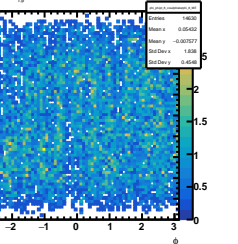
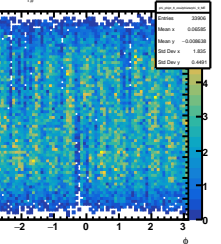


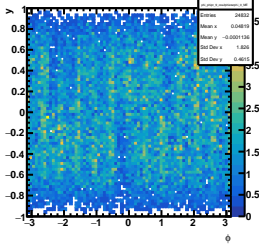
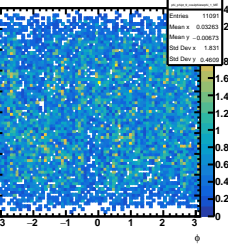
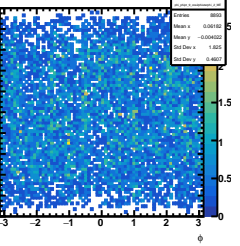
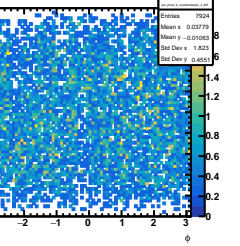
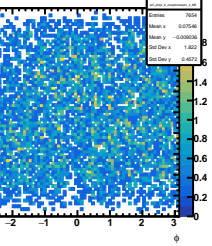
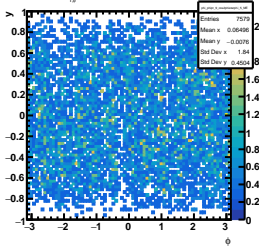
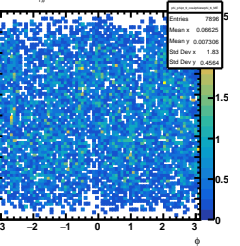
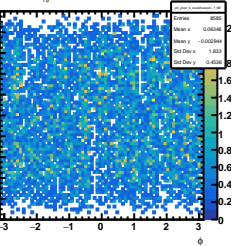
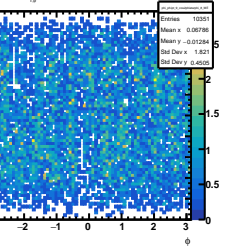
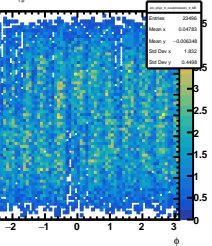


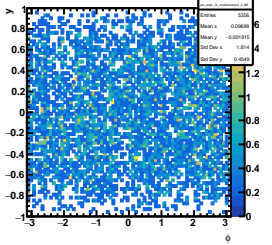
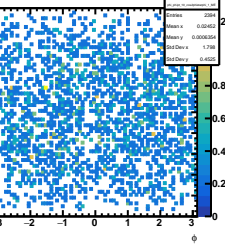
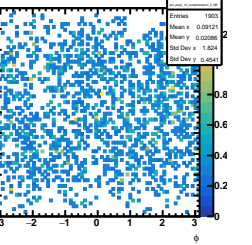
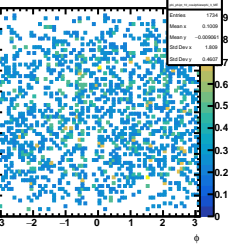
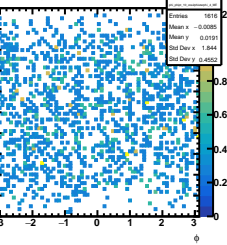
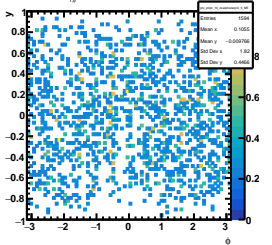
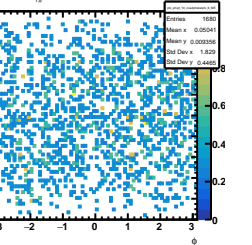
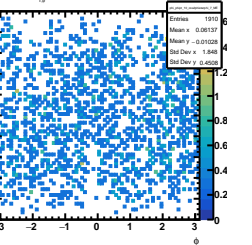
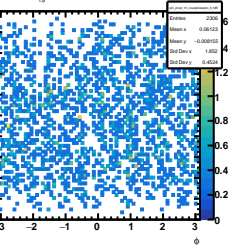
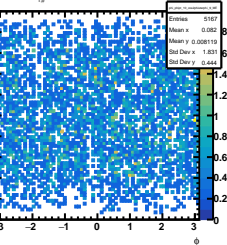
ME 2.2< $p_{T_\phi}$ <2.4, -1<cos(2 $\phi$ \*2 $\phi$ )<0.8, 20-60 CentME 2.2< $p_{T_\phi}$ <2.4, -0.8<cos(2 $\phi$ \*2 $\phi$ )<-0.6, 20-60 CentME 2.2< $p_{T_\phi}$ <2.4, -0.6<cos(2 $\phi$ \*2 $\phi$ )<-0.4, 20-60 CentME 2.2< $p_{T_\phi}$ <2.4, -0.4<cos(2 $\phi$ \*2 $\phi$ )<-0.2, 20-60 CentME 2.2< $p_{T_\phi}$ <2.4, -0.2<cos(2 $\phi$ \*2 $\phi$ )<0.0, 20-60 CentME 2.2< $p_{T_\phi}$ <2.4, 0.0<cos(2 $\phi$ \*2 $\phi$ )<0.2, 20-60 CentME 2.2< $p_{T_\phi}$ <2.4, 0.2<cos(2 $\phi$ \*2 $\phi$ )<0.4, 20-60 CentME 2.2< $p_{T_\phi}$ <2.4, 0.4<cos(2 $\phi$ \*2 $\phi$ )<0.6, 20-60 CentME 2.2< $p_{T_\phi}$ <2.4, 0.6<cos(2 $\phi$ \*2 $\phi$ )<0.8, 20-60 CentME 2.2< $p_{T_\phi}$ <2.4, 0.8<cos(2 $\phi$ \*2 $\phi$ )<1.0, 20-60 Cent

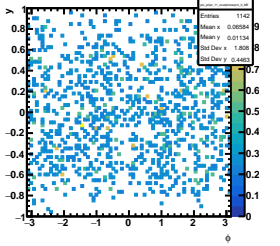
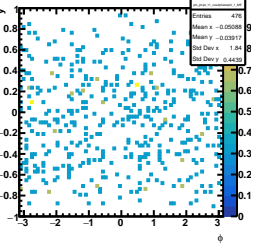
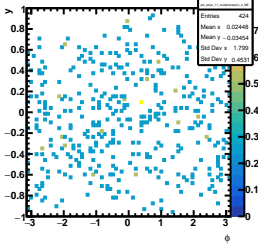
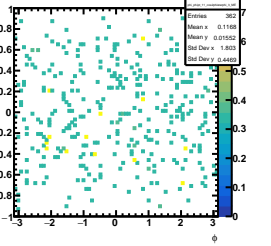
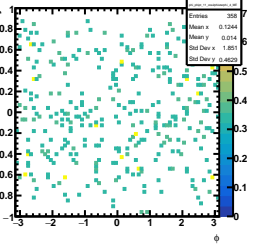
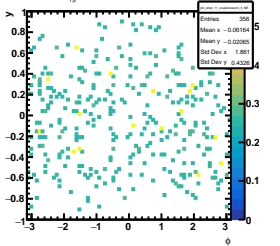
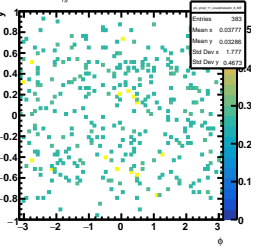
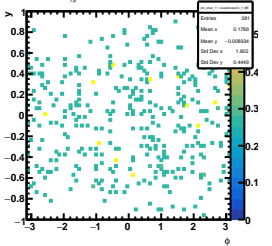
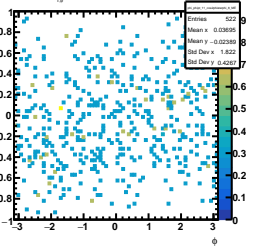
ME 2.4< $p_{T_\phi}$ <2.6, -1.0<cos(2 $\phi$ \*2 $\phi$ )<-0.8, 20-60 CentME 2.4< $p_{T_\phi}$ <2.6, -0.8<cos(2 $\phi$ \*2 $\phi$ )<-0.6, 20-60 CentME 2.4< $p_{T_\phi}$ <2.6, -0.6<cos(2 $\phi$ \*2 $\phi$ )<-0.4, 20-60 CentME 2.4< $p_{T_\phi}$ <2.6, -0.4<cos(2 $\phi$ \*2 $\phi$ )<-0.2, 20-60 CentME 2.4< $p_{T_\phi}$ <2.6, -0.2<cos(2 $\phi$ \*2 $\phi$ )<0.0, 20-60 CentME 2.4< $p_{T_\phi}$ <2.6, 0.0<cos(2 $\phi$ \*2 $\phi$ )<0.2, 20-60 CentME 2.4< $p_{T_\phi}$ <2.6, 0.2<cos(2 $\phi$ \*2 $\phi$ )<0.4, 20-60 CentME 2.4< $p_{T_\phi}$ <2.6, 0.4<cos(2 $\phi$ \*2 $\phi$ )<0.6, 20-60 CentME 2.4< $p_{T_\phi}$ <2.6, 0.6<cos(2 $\phi$ \*2 $\phi$ )<0.8, 20-60 CentME 2.4< $p_{T_\phi}$ <2.6, 0.8<cos(2 $\phi$ \*2 $\phi$ )<1.0, 20-60 Cent

ME 2.6< $p_{T_\phi}$ <2.8, -1<cos(2 $\phi$ \*2 $\phi$ )<0.8, 20-60 CentME 2.6< $p_{T_\phi}$ <2.8, -0.8<cos(2 $\phi$ \*2 $\phi$ )<-0.6, 20-60 CentME 2.6< $p_{T_\phi}$ <2.8, -0.6<cos(2 $\phi$ \*2 $\phi$ )<-0.4, 20-60 CentME 2.6< $p_{T_\phi}$ <2.8, -0.4<cos(2 $\phi$ \*2 $\phi$ )<-0.2, 20-60 CentME 2.6< $p_{T_\phi}$ <2.8, -0.2<cos(2 $\phi$ \*2 $\phi$ )<0.0, 20-60 CentME 2.6< $p_{T_\phi}$ <2.8, 0.0<cos(2 $\phi$ \*2 $\phi$ )<0.2, 20-60 CentME 2.6< $p_{T_\phi}$ <2.8, 0.2<cos(2 $\phi$ \*2 $\phi$ )<0.4, 20-60 CentME 2.6< $p_{T_\phi}$ <2.8, 0.4<cos(2 $\phi$ \*2 $\phi$ )<0.6, 20-60 CentME 2.6< $p_{T_\phi}$ <2.8, 0.6<cos(2 $\phi$ \*2 $\phi$ )<0.8, 20-60 CentME 2.6< $p_{T_\phi}$ <2.8, 0.8<cos(2 $\phi$ \*2 $\phi$ )<1.0, 20-60 Cent

ME 2.8< $p_{T_\phi}$ <3.0, -1.0<cos(2 $\phi$ \*2 $\phi$ )<-0.8, 20-60 CentME 2.8< $p_{T_\phi}$ <3.0, -0.8<cos(2 $\phi$ \*2 $\phi$ )<-0.6, 20-60 CentME 2.8< $p_{T_\phi}$ <3.0, -0.6<cos(2 $\phi$ \*2 $\phi$ )<-0.4, 20-60 CentME 2.8< $p_{T_\phi}$ <3.0, -0.4<cos(2 $\phi$ \*2 $\phi$ )<-0.2, 20-60 CentME 2.8< $p_{T_\phi}$ <3.0, -0.2<cos(2 $\phi$ \*2 $\phi$ )<0.0, 20-60 CentME 2.8< $p_{T_\phi}$ <3.0, 0.0<cos(2 $\phi$ \*2 $\phi$ )<0.2, 20-60 CentME 2.8< $p_{T_\phi}$ <3.0, 0.2<cos(2 $\phi$ \*2 $\phi$ )<0.4, 20-60 CentME 2.8< $p_{T_\phi}$ <3.0, 0.4<cos(2 $\phi$ \*2 $\phi$ )<0.6, 20-60 CentME 2.8< $p_{T_\phi}$ <3.0, 0.6<cos(2 $\phi$ \*2 $\phi$ )<0.8, 20-60 CentME 2.8< $p_{T_\phi}$ <3.0, 0.8<cos(2 $\phi$ \*2 $\phi$ )<1.0, 20-60 Cent

ME 3.0< $p_{T_\phi}$ <3.4, -1.0<cos(2 $\phi$ \*2 $\phi$ )<-0.8, 20-60 CentME 3.0< $p_{T_\phi}$ <3.4, -0.8<cos(2 $\phi$ \*2 $\phi$ )<-0.6, 20-60 CentME 3.0< $p_{T_\phi}$ <3.4, -0.6<cos(2 $\phi$ \*2 $\phi$ )<-0.4, 20-60 CentME 3.0< $p_{T_\phi}$ <3.4, -0.4<cos(2 $\phi$ \*2 $\phi$ )<-0.2, 20-60 CentME 3.0< $p_{T_\phi}$ <3.4, -0.2<cos(2 $\phi$ \*2 $\phi$ )<0.0, 20-60 CentME 3.0< $p_{T_\phi}$ <3.4, 0.0<cos(2 $\phi$ \*2 $\phi$ )<0.2, 20-60 CentME 3.0< $p_{T_\phi}$ <3.4, 0.2<cos(2 $\phi$ \*2 $\phi$ )<0.4, 20-60 CentME 3.0< $p_{T_\phi}$ <3.4, 0.4<cos(2 $\phi$ \*2 $\phi$ )<0.6, 20-60 CentME 3.0< $p_{T_\phi}$ <3.4, 0.6<cos(2 $\phi$ \*2 $\phi$ )<0.8, 20-60 CentME 3.0< $p_{T_\phi}$ <3.4, 0.8<cos(2 $\phi$ \*2 $\phi$ )<1.0, 20-60 Cent

ME 3.4< $p_{T_\phi}$ <3.8, -1.0<cos(2 $\phi$ \*2 $\phi$ )<-0.8, 20-60 CentME 3.4< $p_{T_\phi}$ <3.8, -0.8<cos(2 $\phi$ \*2 $\phi$ )<-0.6, 20-60 CentME 3.4< $p_{T_\phi}$ <3.8, -0.6<cos(2 $\phi$ \*2 $\phi$ )<-0.4, 20-60 CentME 3.4< $p_{T_\phi}$ <3.8, -0.4<cos(2 $\phi$ \*2 $\phi$ )<-0.2, 20-60 CentME 3.4< $p_{T_\phi}$ <3.8, -0.2<cos(2 $\phi$ \*2 $\phi$ )<0.0, 20-60 CentME 3.4< $p_{T_\phi}$ <3.8, 0.0<cos(2 $\phi$ \*2 $\phi$ )<0.2, 20-60 CentME 3.4< $p_{T_\phi}$ <3.8, 0.2<cos(2 $\phi$ \*2 $\phi$ )<0.4, 20-60 CentME 3.4< $p_{T_\phi}$ <3.8, 0.4<cos(2 $\phi$ \*2 $\phi$ )<0.6, 20-60 CentME 3.4< $p_{T_\phi}$ <3.8, 0.6<cos(2 $\phi$ \*2 $\phi$ )<0.8, 20-60 CentME 3.4< $p_{T_\phi}$ <3.8, 0.8<cos(2 $\phi$ \*2 $\phi$ )<1.0, 20-60 Cent

ME 3.8< $p_{T_\phi}$ <4.2, -1.0<cos(2 $\phi$ \*2 $\phi$ )<-0.8, 20-60 CentME 3.8< $p_{T_\phi}$ <4.2, -0.8<cos(2 $\phi$ \*2 $\phi$ )<-0.6, 20-60 CentME 3.8< $p_{T_\phi}$ <4.2, -0.6<cos(2 $\phi$ \*2 $\phi$ )<-0.4, 20-60 CentME 3.8< $p_{T_\phi}$ <4.2, -0.4<cos(2 $\phi$ \*2 $\phi$ )<-0.2, 20-60 CentME 3.8< $p_{T_\phi}$ <4.2, -0.2<cos(2 $\phi$ \*2 $\phi$ )<0.0, 20-60 CentME 3.8< $p_{T_\phi}$ <4.2, 0.0<cos(2 $\phi$ \*2 $\phi$ )<0.2, 20-60 CentME 3.8< $p_{T_\phi}$ <4.2, 0.2<cos(2 $\phi$ \*2 $\phi$ )<0.4, 20-60 CentME 3.8< $p_{T_\phi}$ <4.2, 0.4<cos(2 $\phi$ \*2 $\phi$ )<0.6, 20-60 CentME 3.8< $p_{T_\phi}$ <4.2, 0.6<cos(2 $\phi$ \*2 $\phi$ )<0.8, 20-60 CentME 3.8< $p_{T_\phi}$ <4.2, 0.8<cos(2 $\phi$ \*2 $\phi$ )<1.0, 20-60 Cent